

## ВЫБОР ШАГА СЧЕТА ПРИ РЕАЛИЗАЦИИ МАТЕМАТИЧЕСКОЙ МОДЕЛИ ФИЛЬТРОВАНИЯ ЧЕРЕЗ ЗЕРНИСТУЮ ЗАГРУЗКУ

Н.А. Гуринчик (*Одесская государственная академия строительства и архитектуры, г. Одесса*)

Обоснована необходимость детального подбора шага счета при послойно-повременном методе. Представлены результаты сравнения расчетных данных с результатами аналитических решений Д.М. Минца, на основе которых выбран шаг счета для дальнейших исследований.

Фильтрование через зернистый слой – один из самых важных технологических процессов, используемых в хозяйственно-питьевом и промышленном водоснабжении. Наиболее распространенные режимы работы скорых водоочистных фильтров:

1. Фильтрование с постоянной скоростью.
2. Фильтрование с убывающей скоростью.

Большинство математических описаний процесса фильтрования через зернистый слой сделаны для случая постоянной скорости [1-6]. Отсутствие надежных математических описаний фильтрования с переменной скоростью затрудняет выбор основных технологических параметров фильтров – крупности зерен, высоты слоя, скорости фильтрования, продолжительности фильтроцикла. Вместе с тем, большинство станций работает с убывающей во времени скоростью. Таким образом, описание фильтрования с переменной скоростью является вполне актуальной задачей, представляющей интерес как с теоретической, так и с практической точек зрения.

В [7-9] разработан общий алгоритм расчета фильтрования через фильтрующую загрузку, базирующийся на следующих уравнениях (таблица). В этой таблице помимо исходных уравнений даны и рекуррентные соотношения, используемые при численном счете.

## Уравнения процесса

1. Баланс взвеси –

$$V \frac{\partial C}{\partial x} + \frac{\partial \rho}{\partial t} = 0; \quad \rho_{i+1,j+1} = \rho_{i+1,j} - \Delta t_{j+1} \cdot \frac{V_{j+1} \cdot 100}{\Delta x} \cdot (-C_{i,j} + C_{i+1,j});$$

2. Кинетика –  $\frac{\partial C}{\partial x} = -bC + \frac{a}{V}\rho; \quad C_{i+1} = C_i + \Delta x \cdot \left( -b \cdot C_i + a \cdot \frac{\rho_{i+1} - \rho_i}{V \cdot 100} \right);$

3. Потеря напора –  $h_c(t) = \int_0^L I dx \approx \sum_{x=0}^L I \cdot \Delta x$

4. Гидравлический уклон –  $I_i = 150vV_j(1-m_i)^2/m_i^3gd_s^2 + 1,75(1-m_i)V_j^2/m_i^3gd_s$

5. Пористость –  $m(x,t) = m_o - \frac{\rho(x,t)}{\gamma}; \quad m_{i+1,j+1} = m_o - \frac{\rho_{i+1,j+1}}{\gamma}$

6. Баланс воды в фильтре –  $V_I - V = \frac{dH(t)}{dt}; \quad H_{j+1} = H_j + \Delta t_{j+1}(V_{I,j+1} - V_{j+1})$

7. Расход поступающей в фильтр воды –

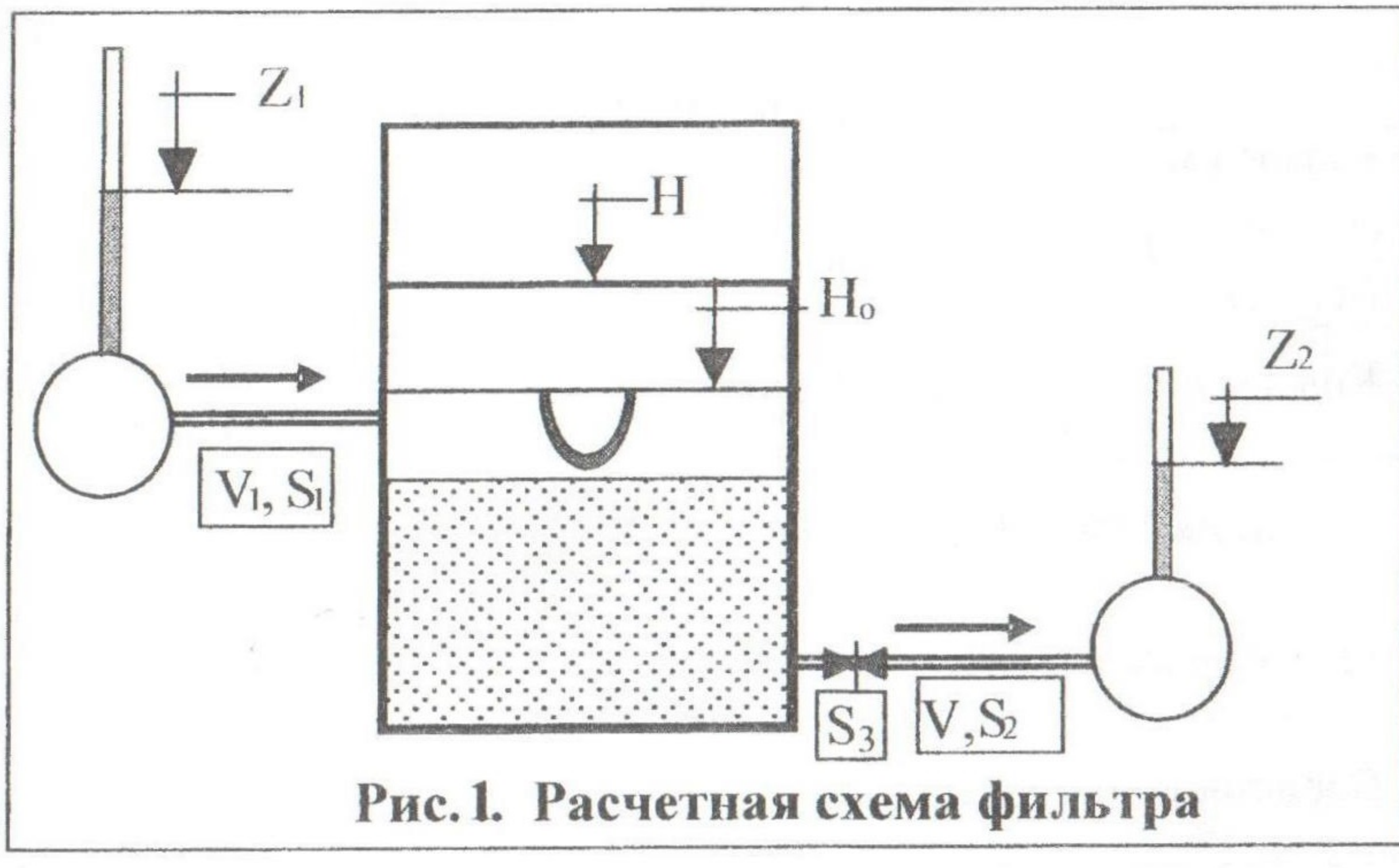
$$Z_I = H + S_I \cdot V_I^2; \quad V_{j+1} = \left( \frac{Z_I - H_{j+1}}{S_I} \right)^{0,5}$$

8. Уровень воды в фильтре –

$$H_j = Z_2 + h_{c,j} + S_2 V_j^2; \quad V_{j+1} = \left( \frac{H_j - Z_2 - h_{c,j}/100}{S_2 + S_3} \right)^{0,5}$$

Индексы  $i$  и  $j$  относятся соответственно к счету по высоте слоя ( $x$ ) и времени ( $t$ );  $V$  – скорость фильтрования, м/ч;  $V_I$  – скорость подачи воды в фильтр, м/ч;  $L_o$  – высота слоя загрузки, см;  $d_s$  – эквивалентный диаметр зерен загрузки, см;  $\gamma$  – плотность осадка, г/м<sup>3</sup>;  $m_o$  – начальная пористость загрузки;  $Z_I$ ,  $Z_2$  – пьезометрические отметки в трубах подачи воды и фильтрата, м;  $H_o$  – уровень воды в фильтре начальный, м;  $H$  – уровень воды в фильтре, м;  $S_I$ ,  $S_2$  и  $S_3$  – соответственно сопротивление подводящих, отводящих труб и задвижки на отводе фильтрата, ч<sup>2</sup>/м;  $h_c$  – потери напора в слое, см;  $v$  – вязкость воды, см<sup>2</sup>/с;  $a$  и  $b$  – кинетические коэффициенты;  $C(x;t)$  – мутность воды, мг/л;  $\rho(x;t)$  – концентрация осадка, мг/л.

Схема фильтра приведена на рис. 1.



При слишком большом шаге счета наблюдалось накопление погрешности, вызывающее сбои программы, поэтому вопросу выбора шагов по высоте слоя ( $x$ ) и по времени ( $t$ ) следует уделить особое внимание.

Определение шагов счета произведено на основе сопоставления результатов пошагового счета и данных Д.М.Минца при исходных данных, приведенных в [1]: мутность исходной воды – 10 мг/л, скорость фильтрования –  $V=7,5$  м/ч, начальная пористость –  $m_0=0,4$ , эквивалентный диаметр зерен загрузки –  $d_2=0,8$  мм, температура воды – 20°C,  $b=9,9 \text{ м}^{-1}$ ,  $a=0,216 \text{ ч}^{-1}$ .

Методика выбора шага по высоте слоя ( $\Delta x$ ):

1. Сравнение проведено для значений  $at = 1,0$  и  $8,0$ . Для этих  $at$  из таблиц [1], взяты значения  $C/C_o$ , как функции  $bx$ .

2. Выполнен послойный расчет при вышеприведенных исходных данных при различных значениях  $\Delta x$ , изменяющихся в диапазоне 0,4 – 2,0 см. Значения  $C/C_o$  выбирались из результатов послойного счета для выбранных значений  $at$ .

3. Для каждого значения  $bx$  при каждом значении шага по высоте слоя и при  $at=const$  определяли максимальные отклонения расчетных значений от данных [1], коэффициенты корреляции и среднеквадратичные отклонения.

Результаты сопоставления представлены на рис.2.

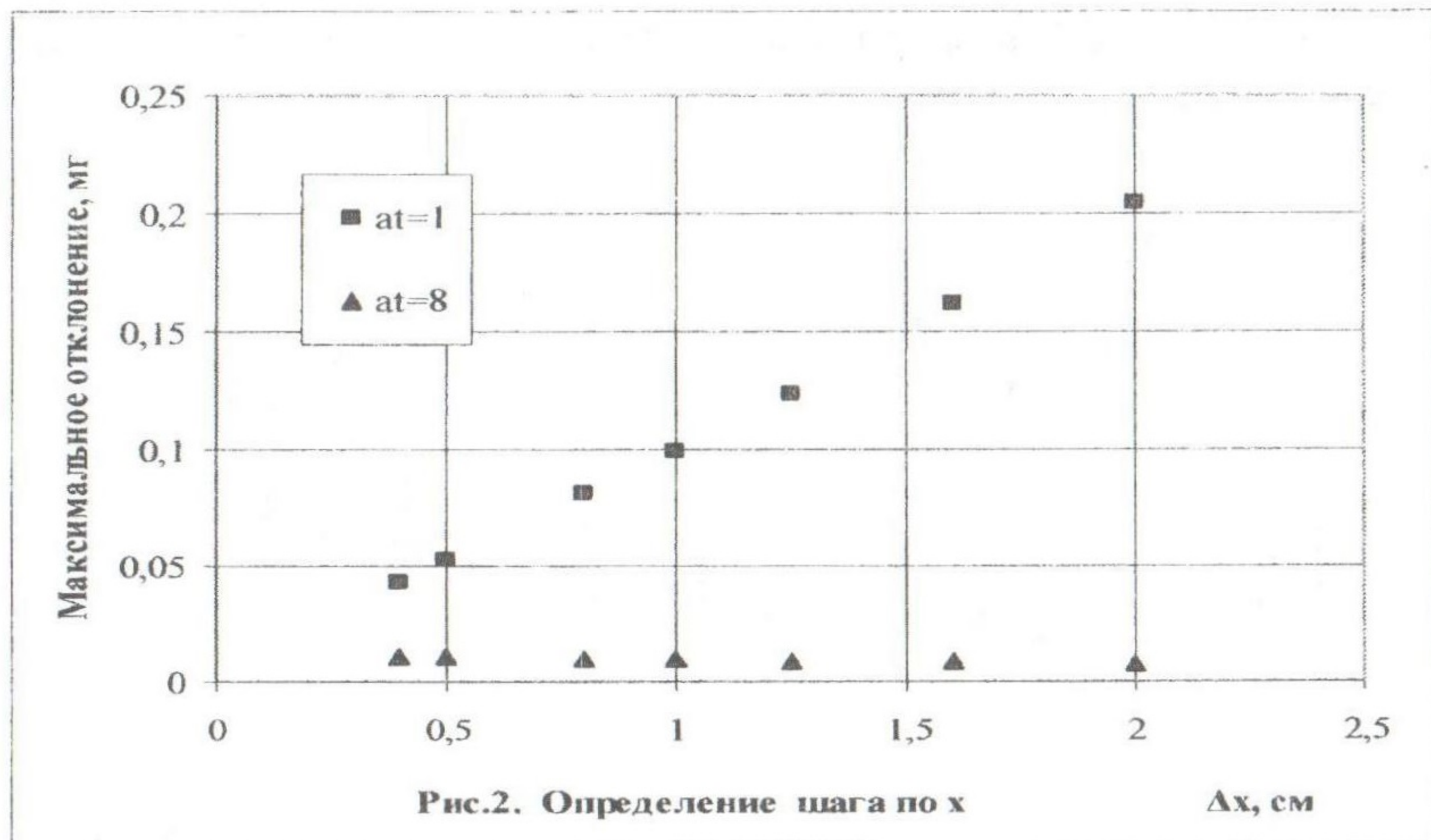


Рис.2. Определение шага по  $x$

Методика выбора шага по времени ( $\Delta t$ ):

- Сравнение проведено для значений  $bx=0,4; 1,0; 4,0; 8,0$ . Для этих  $bx$  из таблиц [1], выписаны значения  $C/C_o$ , как функции  $at$ .
- Выполнен послойный расчет при вышеприведенных исходных данных при значениях  $\Delta t$  в диапазоне 0,02-0,24 ч. Значения  $C/C_o$  выбирались из результатов послойного счета для выбранных значений  $bx$ .
- Для каждого значения  $at$  при каждом значении шага по времени и при  $bx=const$  определяли максимальные отклонения расчетных значений от данных [1], а также коэффициенты корреляции и среднеквадратичные отклонения.

Результаты сопоставления представлены на рис.3.

### Выводы

Анализ графиков показал, что для дальнейших исследований можно принять значения шагов  $\Delta x \leq 1,0$  см и  $\Delta t \leq 0,1$  ч, так как погрешность вычисления при этом не превышает погрешности приборов, определяющих мутность воды ( $\sim 0,1$  мг/л).

Задачей последующих исследований является:

- изучение влияния технологических параметров (начальной скорости, высоты слоя, крупности зерен и т.п.), а также кинетических коэффициентов на динамику фильтрования с переменной скоростью;

- разработка методики определения коэффициентов  $a$ ,  $b$ , и  $y$ ;
- экспериментальная апробация полученной математической модели.

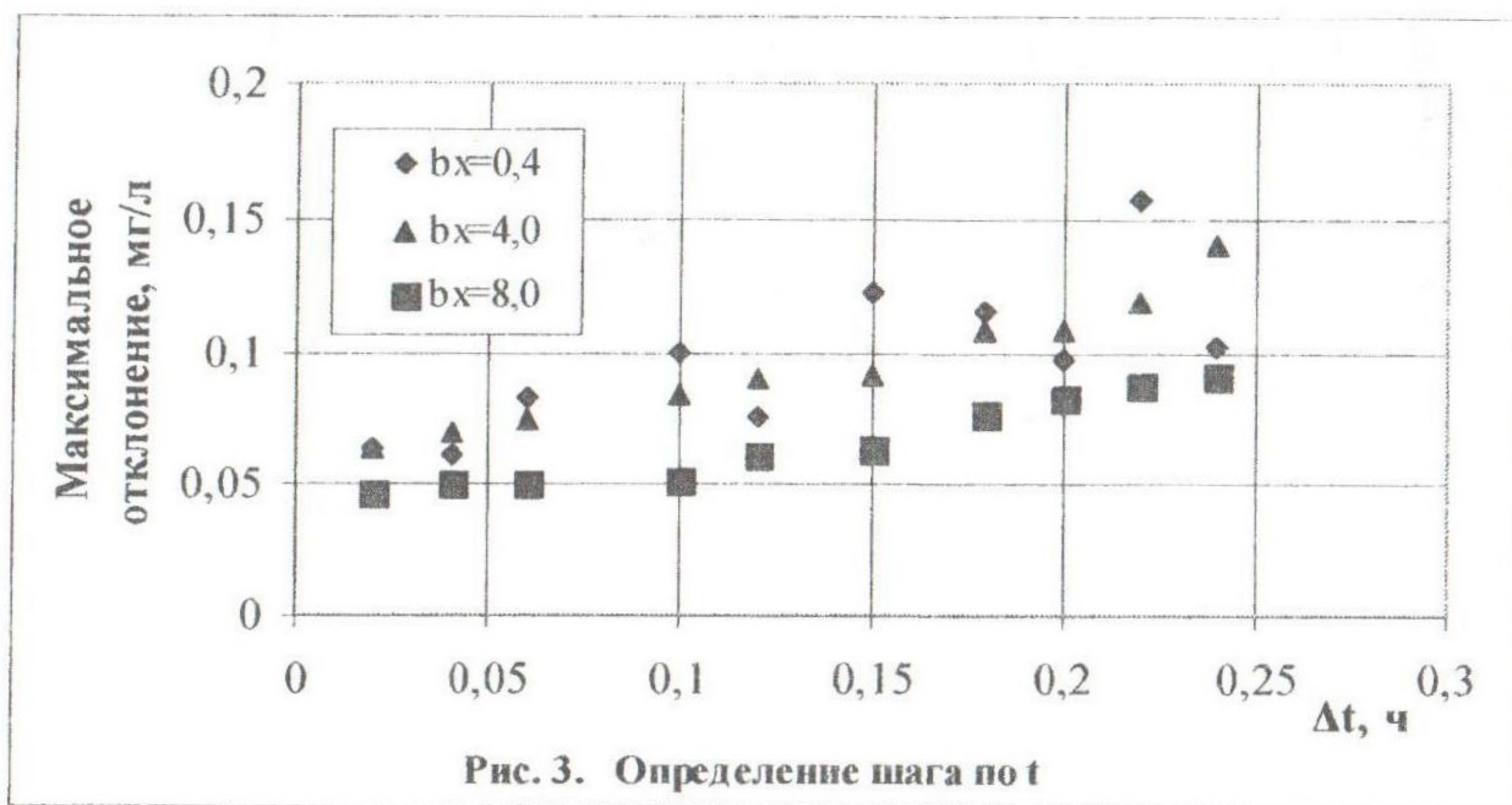


Рис. 3. Определение шага по  $t$

1. Минц Д. М. Теоретические основы технологии очистки воды. М.: Стройиздат, 1964. – 156 с.
2. Hudson H.E. Declining rate filtration //JAWWA. Vol.51, №11, 1959. – р. 42-50.
3. Cleasby J.L. Water filtration through deep granular media/ //Public Works, №6, 1970.– р.36-45.
4. Сысоев М.Н., Казакова Л.П., Богданова С.И., Круглов Л.С. Работа фильтрующих сооружений с переменной скоростью// Водоснабжение и санитарная техника , №2, 1968. – с.15-19.
5. Венецианов Е. В., Рубинштейн Р. Н. Динамика сорбции из жидких сред. М.: Наука, 1983. – 237 с.
6. Аэроп М.Э., Тодес О.М., Наринский Д.А. Аппараты со стационарным зернистым слоем. – Л.: Химия, 1979.– 176 с.
7. Грабовський П. О., Гурінчик Н.О. Чисельна реалізація математичної моделі фільтрування. //Науково-технічний збірник «Проблеми водопостачання, водовідведення та гіdraulіки», вип.6, К. 2005. – с.4-13.
8. Грабовський П. А., Гуринчик Н.А. Фильтрование с постоянной и переменной скоростью. //Збірка доповідей Міжнародного конгресу «ЕТЕВК-2007», Ялта. 2007. – с.88-91.
9. Грабовський П. А., Гуринчик Н.А. Фильтрование воды через зернистый слой с убывающей скоростью. //Вісник ОДАБА, № 24, Одеса, 2006, – с.63-70.